

V-9 コンクリートの動的性質を知るための二、三の実験

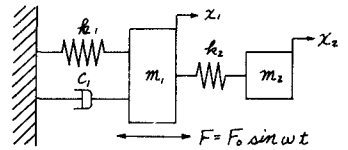
新潟大学 正員 松野操平  
 新潟大学 正員 米山紘一  
 三菱重工業(株) 正員 ○田村雄児

1. まえがき

強制振動に対するコンクリートの動的性質を把握するために、従来比較的大型の起振機もしくは加振機が使用されていた。しかしながら、共振現象を利用すれば比較的小型の起振機を用いても大きな応答が得られるはずである。この観点から、共振を利用する小型の起振機を試作し、これをセメントモルタルおよびレジンモルタル供試体に適用して、その特性を確認した。さらにこれらの供試体について長時間動的載荷実験を行い、モルタル部材の動的諸元の繰返し荷重による変化の様子を調べた。

2. 振動機構のモデル化とその力学

研究の基礎段階として部材の弾性領域内における挙動を考えた。そのため図-1に示すような振動モデルを設定した。図中添字1を付した諸元は供試体を含む主振動系に関するものであり、添字2を付した諸元は従来の起振機を改良するために取付けた補助振動系に関するものである。



	振動系		振動外力	F
	主	補助	起振力	F <sub>0</sub>
質量	m <sub>1</sub>	m <sub>2</sub>	振動外力	ω
バネ定数	k <sub>1</sub>	k <sub>2</sub>	角速度	
減衰係数	c <sub>1</sub>	—		
応答変位	x <sub>1</sub>	x <sub>2</sub>		

図-1に示す振動系の運動方程式は次のようになる。

$$\left. \begin{aligned} m_1 \ddot{x}_1 + c_1 \dot{x}_1 + (k_1 + k_2)x_1 - k_2 x_2 &= F_0 \sin \omega t \\ m_2 \ddot{x}_2 + k_2 x_2 - k_2 x_1 &= 0 \end{aligned} \right\} \text{--- (1)}$$

この解は定常状態を考えると次式のようになる。

$$\left. \begin{aligned} x_1 &= \left[ \frac{F_0 (k_2 - m_2 \omega^2)}{\sqrt{\{(k_1 + k_2 - m_1 \omega^2)(k_2 - m_2 \omega^2) - k_2^2\}^2 + \{c_1 \omega (k_2 - m_2 \omega^2)\}^2}} \right] \sin(\omega t + \phi_1) \\ x_2 &= \left[ \frac{F_0 k_2}{\sqrt{\{(k_1 + k_2 - m_1 \omega^2)(k_2 - m_2 \omega^2) - k_2^2\}^2 + \{c_1 \omega (k_2 - m_2 \omega^2)\}^2}} \right] \sin(\omega t + \phi_2) \end{aligned} \right\} \text{--- (2)}$$

ただし、 $\phi_1, \phi_2 = \tan^{-1} \left[ \frac{c_1 \omega (k_2 - m_2 \omega^2)}{\{(k_1 + k_2 - m_1 \omega^2)(k_2 - m_2 \omega^2) - k_2^2\}} \right]$

この解の根号内の第一項を0とするような補助振動系のk<sub>2</sub>, m<sub>2</sub>の組合せが得られれば、主振動系の変位を最大にすることができる。この時の主、補助振動系の挙動は次式で与えられる。

$$x_1 = (F_0 / c_1 \omega) \sin(\omega t + \pi/2), \quad x_2 = \{F_0 k_2 / (k_2 - m_2 \omega^2) c_1 \omega\} \sin(\omega t + \pi/2) \text{--- (3)}$$

この状態における補助振動系のk<sub>2</sub>, m<sub>2</sub>を求めると次のようになる。

$$k_2 = k_1 (\omega_1^2 - \omega^2) (\omega_2^2 - \omega^2) / \omega^2 \omega^2, \quad m_2 = k_1 k_2 (\omega_1^2 - \omega^2) / \{k_2 \omega^2 \omega^2 + k_1 \omega^2 (\omega_1^2 - \omega^2)\} \text{--- (4)}$$

ただし、ω<sub>1</sub>, ω<sub>2</sub>は主、補助振動系の固有角速度である。

上記のような働きを有する補助振動系を備えた起振機を以後、共振型起振機 (RESONANCE CREATING EXCITER, 略称 RECRES) と呼ぶことにする。

3. 使用機器、供試体、材料、等

RECRESは起振部と補助振動部から構成されている。起振部の重量は1.164 kgでありこれは主振動系に属する。補助振動部は鋼製カンチレバーをバネとし、その先端に錘(質量)をネジ止めする構造とした。

供試体(図-2)はセメントモルタルおよびレジンモルタルで造った。前者は、振動載荷直前まで20℃の水中に設置され、載荷時も霧吹きで湿潤状態に保った湿潤供試体と、振動載荷の3日前まで20℃の水中に設置され、その後3日間110℃で炉乾燥した乾燥供試体の2種類である。後者は、振

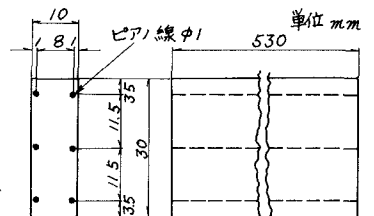


図-2 供試体

動載荷直前まで 20℃ 60% R.H.の恒温恒湿室中に設置したものの1種類である。なお振動載荷はいずれも材令 60~80 日の間で実施した。この材令における供試体の曲げに対する抵抗性の平均値は次のようである。

表-1 モルタルの配合 強度

モルタルの種類	C		R <sub>o</sub>		W C	プロ-値 曲げ 圧縮		材令 養生
	S <sub>1</sub>	S <sub>2</sub>	S <sub>1</sub>	S <sub>2</sub>		(mm)	(kg/cm <sup>2</sup> )	
セメント	0.20				0.45	263	102 550	60~80日・20℃水中
レジン		0.20					342 729	60~80日・20℃60%RH空中

湿潤セメントモルタル供試体  $F_u \times l = 2.65 \text{ Kg} \times 45.15 \text{ cm} = 120 \text{ Kg} \cdot \text{cm}$

乾燥セメントモルタル供試体 "  $= 2.90 \text{ " } \times 45.15 \text{ " } = 131 \text{ " }$

レジンモルタル供試体 "  $= 4.65 \text{ " } \times 45.15 \text{ " } = 210 \text{ " }$

供試体の作製に使用した材料は次の通りである。セメント(C)は普通ポルトランドセメント、比重 3.14 である。レジン(R<sub>o</sub>)はトーホーダイト M-481 常温用、比重 1.17 (20℃) である。骨材(S<sub>1</sub>)は 5mm 以下のものを通過する川砂、F.M. 242、比重 2.64、吸水量 1.3% である。骨材(S<sub>2</sub>)は混合珪砂、F.M. 217、比重 2.64、吸水量 0.2% である。ピアノ線は直径 1mm、引張強度 230 kg/mm<sup>2</sup>、弾性係数 2.0 × 10<sup>6</sup> Kg/cm<sup>2</sup> である。

モルタルの配合、強度は表-1 に示す通りである。

#### 4. 実験方法

供試体の一端を万力で固定してカンチレバー構造とし、その自由端に RECREX を取付けて振動実験を行った。(図-3)

##### 4.1 RECREX の特性実験

把握すべき RECREX の特性として最も重要なものは、その補助振動系取付けによる応答変位拡大能力である。このための実験を以下の手順で行った。

(i) 主振動系諸元の決定：まず質量  $m_1$  を次式で求めた。

$$m_1 = (0.236 \times W_1 + W_2) / g \quad \text{--- (5)}$$

ここに  $W_1$ : 供試体重量,  $W_2$ : RECREX の起振部重量

0.236: 等値先頭質量換算定数,  $g$ : 重力加速度  
つぎにバネ定数  $k_1$ , 減衰係数  $C_1$  を求めた。これは自由振動応答曲線(図-4) から周期  $T$  を求め、固有減衰角速度  $\omega_d$  から次式により決定した。

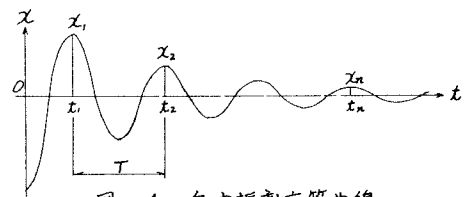


図-4 自由振動応答曲線

$$\left. \begin{aligned} \lambda &= \ln(x_1/x_n) / (n-1), \quad h = \sqrt{\lambda^2 / (4\pi^2 + \lambda^2)}, \quad f = 1/T, \quad \omega_d = 2\pi f \\ \omega_1 &= \omega_d / \sqrt{1-h^2}, \quad k_1 = \omega_1^2 \cdot m_1, \quad C_1 = 2h \sqrt{k_1 \cdot m_1} \end{aligned} \right\} \quad \text{--- (6)}$$

(ii) RECREX の起振部による強制振動：補助振動系を取付けずに起振部のみによって実験を行った。この際外力角速度  $\omega$  を供試体の固有角速度  $\omega_1$  の前後  $\omega/\omega_1 = 0.6 \sim 1.4$  の範囲で変化させた。

(iii) RECREX による強制振動：主振動系の諸元および前項(ii)で用いた外力角速度に対して、補助振動系を取付けることによって主振動系の応答変位が拡大されるように補助振動系のバネ定数  $k_2$  を一定にして、質量  $m_2$  を算出する。このように調律された質量  $m_2$  を有する補助振動系を主振動系に取付けて実験を行った。

##### 4.2 長時間動的載荷実験

今回は RECREX の起振部のみを用いて以下の順序で振動実験を行った。(i) 供試体を設置し、自由振動を行って最初のバネ定数  $k_{1d}$ , 減衰係数  $C_1$  を求める。また、載荷時の変位から静的バネ定数  $k_{1s}$  を求める。(ii) 所定の

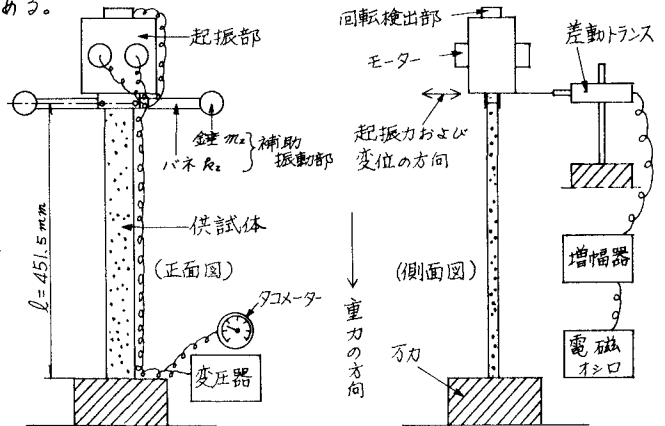


図-3 振動測定機構

振動数で強制振動を開始する。この時の応答変位を最初の変位とする。(iii)約1時間後に応答変位を記録し振動を止める。自由振動を行って、 $\zeta_{id}$ ,  $\zeta_{is}$ ,  $C_1$ を測定する。その後また強制振動を継続する。(iv)以下、約2, 4, 8, 12, 16, 24時間後に(iii)と同じ測定を行って終了とした。

## 5. 実験結果とその考察

### 5.1 RECREXの特性実験について

得られた現象を三つの形にとりまとめ図示した。ここでそれらの名称の定義をしておく。(i)特性曲線：RECREXによる動的荷重下の最大応答変位 $y_d$ とRECREXの起振部のみによる動的荷重下の最大応答変位 $x_d$ との比 $y_d/x_d$ と、外力角速度 $\omega$ と供試体の固有角速度 $\omega_1$ との比 $\omega/\omega_1$ との関係を示す曲線で、これがRECREXの補助振動系取付け効果を示すものである。(ii)共振曲線： $x_d$ と振動外力を静的に戴荷した場合の変位 $x_s$ との比 $x_d/x_s$ と、 $\omega/\omega_1$ との関係を示す曲線。(iii)鋭敏曲線： $y_d$ と $x_s$ の比 $y_d/x_s$ と $\omega/\omega_1$ との関係を示す曲線で、いわばこれがRECREXを用いた場合の共振曲線にあたるものである。

湿潤セメントモルタル供試体に対する特性、共振、鋭敏曲線の一例を図-5に示す。この図において、共振点( $\omega/\omega_1=1$ )付近の測定結果がない理由は、供試体が塑性領域に入る可能性があり、また計算によって求まる $m_2$ が不釣合に大きくなるため実験を行わなかったことによる。また共振、鋭敏曲線において共振点を境に曲線がずれている理由は、補助振動系を調律するために必要な主振動系の諸元が共振点の左右で異なることによる。特性曲線の実験値は $\omega/\omega_1 < 1$ で理論値とほぼ一致している。しかし $\omega/\omega_1 > 1$ では拡大効果が比較的小さい。一方、共振曲線の実験値は逆に $\omega/\omega_1 > 1$ で理論値により近い値を示している。鋭敏曲線の実験値は $\omega/\omega_1 < 1$ ,  $\omega/\omega_1 > 1$ のいずれにおいても理論値よりもかなり小さい。また共振、鋭敏曲線の実験値から推定すると、両者は共振点で一致した値を示さず $\omega/\omega_1 < 1$ では $\omega/\omega_1 = 0.95$  付近で、 $\omega/\omega_1 > 1$ では $\omega/\omega_1 = 1.15$  付近で一致するものと考えられる。このことは特性曲線が理論上共振点で1の値を示すのに対して、実験では共振点も含めたその近辺( $\omega/\omega_1 = 0.95 \sim 1.15$ 程度)で1以下の値を示すこと、すなわちこの領域においてはRECREXは期待された効果を發揮せず、補助振動系による応答変位拡大能力が1以下になることを示すものと考えられる。

$\omega/\omega_1 > 1$ の領域でRECREXの効果が理論の場合よりも低い結果となった理由については次のようなことが考えられる。(i)補助振動系および供試体自身が $\omega$ の大きい領域では高次のモードで振動すること。(ii) $\omega$ が大きくなることは補助振動系を調律する時の対象となる振動の周期が短くなること。すなわち補助振動系の調律精度にはおのずと限界があるため、その誤差に伴う固有周期の誤差が外力周期に対して相対的に大きくなることである。また共振点付近で特性曲線が1以下になることが推察されたが、これは供試体の諸元が同一の $\omega$ に対する $x_d$ ,  $y_d$ の測定時で多少異なるため、厳密に言って $x_d$ と $y_d$ とが1対1に対応しないことによるものと考えられる。

乾燥セメントモルタル供試体に対するRECREXの特性は湿潤供試体の場合とほとんど等しかった。またレジンモルタル供試体に対する特性もほぼ同様であるが、補助振動系による応答変位拡大能力が1以下となる領域はセメントモルタル供試体の場合よりも幅の狭いものとなること、すなわち共振点により近くなることが推察された。

### 5.2 長時間動的載荷実験について

長時間動的載荷を受けるモルタル供試体の諸元の変化については、一例として湿潤セメントモルタル供試体の

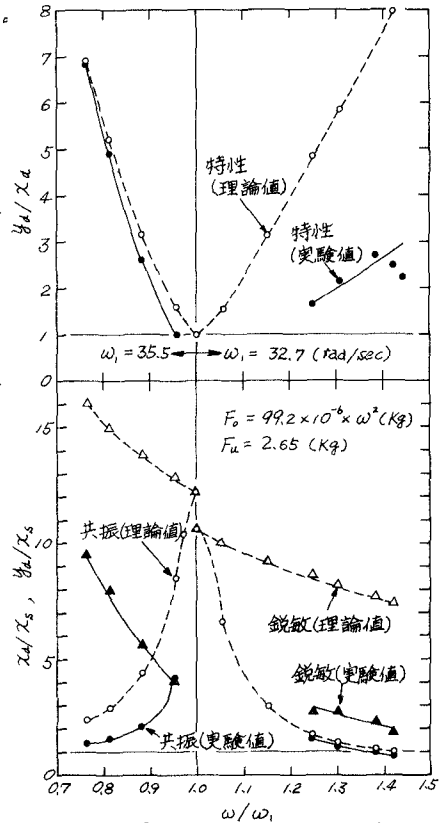
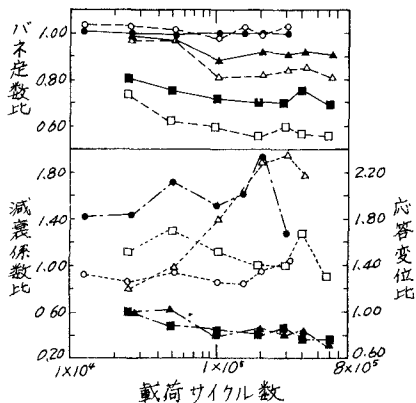


図-5 湿潤セメントモルタル供試体の特性、共振、鋭敏曲線の一例

場合を図-6に示す。この図の横軸は累積載荷サイクル数を、縦軸は載荷開始時の諸元に対する各経過時点での諸元の比を示す。この図から次の事がわかる。(i) 累積載荷サイクル数の増加に伴うバネ定数の低下の程度は、 $\omega/\omega_1=1$ ,  $\omega/\omega_1 > 1$ ,  $\omega/\omega_1 < 1$ の載荷条件の順に大きく、 $\omega/\omega_1 < 1$ ではほとんど低下が認められない。



	$\omega/\omega_1$		
	$< 1$	$= 1$	$> 1$
$\omega$ (rad/sec)	29.3	29.5	31.0
$\omega$ (rad/sec)	18.8	28.2	37.9
$F_0$ (kg)	0.035	0.079	0.143
$F_0/F_u$ (%)	1.21	2.72	4.93
バネ定数比	静的 ○	静的 □	静的 △
動的	動的 ●	動的 ■	動的 ▲
減衰係数比	○	□	△
応答変位比	●	■	▲

図-6 湿潤セメントモルタル供試体のバネ定数、減衰係数、応答変位の推移の一列

(ii)  $\omega/\omega_1 \geq 1$ の載荷では、静的バネ定数の低下率の方が動的バネ定数のそれよりも大きい。

(iii)  $\omega/\omega_1=1$ の載荷で  $1 \times 10^5$  サイクル後、動的、静的バネ定数はそれぞれ 70%、55% に低下している。また  $\omega/\omega_1 > 1$  の載荷ではそれらは 70%、80% に低下している。(iv) 減衰係数については、 $\omega/\omega_1 \leq 1$  の載荷ではほとんど変化が認められず、 $\omega/\omega_1 > 1$  の載荷では増加している。(v) 減衰係数の変化現象は、部材が塑性をもつための履歴減衰が現われているものと考えられる。全体を通じて、その値の変化が累積載荷サイクル数との間に明確な相関性がないことは、部材のひび割れ現象が一定しないこと、およびそれを粘性減衰に置換える時の誤差にもとづくものと考えられる。(vi) 応答変位については、 $\omega/\omega_1 < 1$  の載荷の時だけ増加が認められ、その他の場合は最初の値の約 75% に漸次減少していく。これは  $\omega/\omega_1 \geq 1$  の載荷では図に見られる如くバネ定数が次第に減少して行くことから、供試体の固有角速度が低下すること、従って一層共振点から離れた実験となることで説明される。また、 $\omega/\omega_1 < 1$  の場合は、バネ定数の低下により共振点に近づいて行くと考えられるが、図に見られる如くバネ定数、減衰係数の値は変化していない。応答変位が最初の 2 倍にも達する原因は不明である。

乾燥セメントモルタルおよびレジンモルタル供試体の動的諸元の変化についても同様にとりまわしと考察を行ったが、紙面の都合でここではこれらを割愛し、その要点のみをあとがきに記すことにする。なおこれらについては講演時に触れることにする。

## 6. あとがき

RECREX の特性については実験の範囲内で次のことが言える。(i) あらゆる条件下で例外なく RECREX がその効果を発揮し得るのは、供試体の固有角速度より小さな角速度の他周波外力に対してである。(ii) RECREX の欠点としては、繰返し載荷によってその動的性質が著しく変化するような供試体の場合、実験中に RECREX を調律し直さなければならない煩しさのあることが挙げられる。

長時間動的載荷を受けるモルタル供試体の動的諸元の変化については実験の範囲内で次のことが言える。(i) セメントモルタル供試体の動的、静的バネ定数はいずれも低下する。レジンモルタル供試体のそれらについてはほとんど低下が認められず、むしろ幾分増大する。(ii) セメントモルタル供試体については、湿潤供試体の動的バネ定数の低下率は静的バネ定数の低下率よりも小さく、乾燥供試体の両者の低下率はほとんど同じである。(iii) セメントモルタル供試体のバネ定数の低下については、供試体の固有角速度で載荷する場合に最も大きくなる。(iv) セメントおよびレジンモルタル供試体のいずれにおいても、繰返し載荷数の増加に伴う減衰係数の変化には法則性が明確でない。(v) セメントおよびレジンモルタル供試体の応答変位は、動的バネ定数と減衰係数の変化に関連して変化する。